

Phenotypic and molecular diagnosis of the fungus *Sclerotinia sclerotiorum* and the effect of temperature under light and dark conditions on the sclerotia development.

التشخيص المظاهري والجزئي للفطر *Sclerotinia sclerotiorum* وتأثير درجات الحرارة تحت الأضاءة والظلام في تطور الاجسام الحجرية

بان طه محمد نادية نايف حسين*

قسم علوم الحياة / كلية التربية للعلوم الصرفة / جامعة كربلاء

* بحث مستقل من رسالة ماجستير للباحث الثاني.

المستخلص:

تم تشخيص الفطر *Sclerotinia sclerotiorum (lib.) de Bary* بالاعتماد على الصفات المظاهريّة والمجهرية ، وجزيئياً باستخدام تقانة Polymerase chain reaction (PCR) ، باستخدام البادئ 18S rRNA gene عزل وتشخيص الفطر واكتاره باستخدام وسط حبوب الحنطة Wheat grain media لغرض الحصول على اكبر كمية ممكنة من الاجسام الحجرية. كما تم دراسة تأثير بعض الظروف البيئية من درجات الحرارة ، والاضاءة ، والظلام في انتاج الاجسام الثمرية Apothecium ، والاكياس البوغية Ascus ، والابواغ الكيسية Ascospores من الاجسام الحجرية. اوضحت النتائج ، ان البادئ المستخدم نجح في تشخيص الفطر، كما أثرت العوامل البيئية المتمثلة بدرجات الحرارة 10،15،20،25°C والاضاءة أو عدمها. في أنتاج السويقات Stipes والأجسام الثمرية Apothecium من الجسم الحجري، فكانت درجات الحرارة 10 و 15 و 20°C مناسبة لإنتاج الاجسام الثمرية شرط توفر الاضاءة والاـفان الاجسام ثمرية لم يكتمل نموها وتبقى بشكل سويق stipe يستطيل في ظروف الظلام ،اما درجة الحرارة 25°C لم تنتج اجساماً ثمرية حتى يوجد الاضاءة ولم يحصل تطور للسويات . يعتبر الماء المقطر المعمق أفضل الأوساط البيئية الملائمة لتطور الاجسام الحجرية وتكون السويقات شرط توفر درجة الحرارة الملائمة.

ABSTRACT:

The Fungus *Sclerotinia sclerotiorum (Lib.) de Bary* was isolated based on morphological and microscopic characteristics and on molecular by using Polymerase chain reaction (PCR) with the Primer 18S rRNA. The isolation Propagation of the fungus using Wheat grain media was used in order to gain as much as possible from the sclerotia and using these sclerotia in the next experiments . The environment condition ie. temperature ,light, and darkness effects on the production of Apothecium ,Ascus and Ascospores produced from the sclerotia were also studied. Results revealed that the primer used in fungal diagnosis was capable to do that in the Fungus ‘and 25 °C and light effect on the stipes and Apothecium production from sclerotia were effective temperature at 10,15 and 20 °C with the presence of light were suitable for Apothecium production .Without light , Apothecium stays without growth completion and remains on stipe elongates under the dark condition. Distilled water is considered the best medium for sclerotia formation and development of stipes.

المقدمة :

الفطر *Sclerotinia sclerotiorum (lib.) de bary* من فطريات التربة الممرضة للنبات والمنتجة للأجسام الحجرية (1). تعد الأجسام الحجرية وسيلة فعالة فيبقاء الفطر لسنوات عديدة قد تصل إلى ثمان سنوات بظروف المختبر (2)، وتكون مقاومة للحرارة والجفاف والبيادات الفطرية، ويمكن أن تبقى في التربة لسنوات عديدة قد تصل إلى أكثر من عشر سنوات(3). كما تحتمل مديات حرارية عالية قد تصل إلى 121°C (4)، كما يمكن أن تبقى في التربة لمدة سنوات بوجود مياه الري والمناخ الدافي (5)(6). يسبب الفطر العديد من الأمراض على مدى واسع من المحاصيل الحقلية والفاكهة ونباتات الزينة والأشجار والشجيرات والأعشاب الضارة (7)(8)، ويحدث مرض العفن الأبيض Whit Mould أما بالإنبات الجنسي للأجسام الحجرية Carpogenically لإنتاج الأجسام الثمرية Apothecium التي تطلق الأبواغ الكيسية Ascospores في الهواء والتي بإمكانها إصابة أجزاء النبات فوق سطح التربة (9)، وتعد الأبواغ الكيسية هي مصدر الإصابة الأولية(10)، أو بالنمو الخضرى Myceliogenically ، حيث تتطور الأجسام الحجرية إلى خيوط فطرية تستطيع مهاجمة أنسجة النبات العائل مباشرة تحت سطح

مجلة جامعة كريلاء العلمية – المجلد الرابع عشر- العدد الرابع / علمي / 2016

التربة، وبإمكان هذا الفطر أن يغزو المحاصيل النباتية في الحقل أو المحاصيل المخزنة بعد الحصاد (11). وجد (12) ، أن وسط البطاطا دكستروز اكار (PDA) والـ pH 5.0 درجة حرارة 20-25° م مناسبة للنمو الخضري للفطر. يلعب نوع الوسط الزراعي والـ pH مع درجة الحرارة دوراً في النمو الخضري، بينما درجة الحرارة 20-20° M هي المناسبة للإناث الجنسي للأجسام الحجرية (13)، بينما سجلت درجة الحرارة 4° M الدرجة المثلثى للإناث الجنسي تحت ظروف المختبر(14). تبين أن هناك علاقة وثيقة بين درجة الحرارة والرطوبة في الإناث الجنسي للأجسام الحجرية (15)، كما وإن قدرة الأبواغ الكيسية في البقاء حية لمدة 21 أسبوعاً في درجات حرارة 5-10° M ورطوبة نسبية أكثر من 80% في المختبر، وتتحفظ تلك القدرة بارتفاع درجات الحرارة ، ووجد إن إنطلاق الأبواغ الكيسية ascospores من *S.sclerotiorum* لا يقتصر على فترات الظل أو الضوء المستمر أو بالتناوب (16). إن حدوث ظاهرة "النفح" او السحابة puffing للأبواغ الكيسية ascospores تحدث نتيجة للتغير المفاجئ للظروف البيئية مثل الإضاءة بعد الظل أو انخفاض في الرطوبة أو الحرارة أو نتيجة لإزالة غطاء الطبق الحاوي على الأجسام الثمرية Apothecium للفطر *Sclerotinia sclerotiorum* (17) و (18). اثبتت الدراسات ومنها (19)، أن الانواع التابعة لجنس *S. sclerotiorum* متقاربة من حيث الشكل المظاهري ويمكن ان تميز بينها بإستخدام صفات تشخيصية دقيقة أو عن طريق تحليل المادة الوراثية即 DNA لذا إتجهت الدراسات في الآونة الأخيرة على التشخيص الجزيئي ، والذي يستند إلى تقنية(PCR) Polymerase Chain reaction (PCR) و التي تتميز بسرعتها في اعطاء النتائج و دقتها المتناهية في التشخيص(20)و(21). فهدفت الدراسة إلى:

- 1- التأكيد من تشخيص الفطر *S.sclerotiorum* مظهرياً وجزيئياً بإستخدام تقنية PCR.
- 2- تتميم الأجسام الحجرية على وسط الحنطة لإنتاج أكبر عدد ممكن من الأجسام الحجرية .
- 3- دراسة تكون السويقات والأجسام الثمرية والأبواغ الكيسية للفطر تحت درجات حرارية مختلفة وبظروف الإضاءة المستمرة او الظل المستمر.

:Material and methods المواد وطرق العمل

اولا- الأوساط الزراعية المستعملة:-

- 1- وسط البطاطا سكروز اكار (PSA) Potato sucrose Agar
- 2- وسط البطاطا دكستروز اكار الجاهز : Potato dextrose Agar (PDA)
- 3- وسط حبوب الحنطة Wheat grain media
- 4- وسط الماء المقطر المعقم.

ثانيا - الصبغات والمحاليل المستعملة:

- 1- صبغة اللاكتوفينول أزرق المثيلين Lactophenol cotton blue stain: حضرت وفقاً إلى (22) من المواد التالية: المثيلين الأزرق 0.05 غم ، بلورات الفينول 20 غم ، كلسيرون 40 مل ، حامض اللاكتيك 20 مل و ماء مقطر 20 مل، واستخدمت لتصبيغ الفطر وتنبيته لغرض الفحص المجهرى .
- 2- محلول هيدروكسيد الصوديوم NaOH Solution تم تحضيره من إذابة 8 غم من هيدروكسيد الصوديوم في 100 مل ماء مقطر ، وأستخدم لمعايرة الأس الهيدروجيني في الوسط الزراعي.
- 3- محلول حامض الهيدروكلوريك HCl 10 عياري: حضر هذا محلول حسب التعليمات الخاصة بالشركة المصنعة وأستخدم لغرض تعديل الأس الهيدروجيني للأوساط الزراعية المستخدمة في الدراسة.

ثالثا- جمع العينات : Samples collection

جمعت سيفان نباتات البازنجان المصابة من المزارع القريبة من الكلية التقنية المسيب وأخذت منها الأجسام الحجرية واستناداً إلى الأعراض المظهرية والتاريخ الأولى، شخص الفطر مظهرياً استناداً إلى ما ورد في (24) و (23) و (7) إلى نفس النوع الذي تم دراسته وتشخيصه جزئياً من قبل (21). تم زراعة الأجسام الحجرية للفطر على وسط PSA بـ الماء العادي وتعقيمها سطحياً لمدة ثلاثة دقائق بمحلول الكلوراكس التجاري 0.06%، وغسلها عدة مرات بالماء المقطر المعقم ، وتجفيفها على أوراق ترشيح معقمة .

رابعا- إنتاج الأجسام الحجرية للفطر : *S. sclerotiorum*

زرع جسم حجري واحد في وسط طبق بتري حاوي على PSA المضاف إليه الكلورامفينيكول 250 ملغم/لتر وبعد خمسة أيام من الحضن وقبل أن يكون الأجسام الحجرية، تم تقسيم الطبق إلى قطع مكعبية، وذلك لغرض إثمار الفطر على وسط الحنطة لإنتاج أكبر عدد ممكن من الأجسام الحجرية (14).

خامساً- تشخيص الفطر *S. sclerotiorum*

1- التشخيص المظاهري للفطر:

شخص الفطر وفقاً لما اورده (23 و 24)، وباستخدام طريقة زراعة جسم حجري واحد في وسط طبق بتري يحوي على PDA المضاف اليه الكلورامفينيكول 250 ملغم/لتر. وبعد الحضن لمدة 5 أيام بدرجة حرارة $20 \pm 2^\circ\text{C}$ لوحظ الغزل الفطري الأبيض وبعدها تكونت الأجسام الحجرية. تم تحضير شرائح زجاجية من العزل الفطري وصبغت بصبغة اللاكتوفينول وثم وضع غطاء الشريبة Coverslips، فحصت تحت المجهر للاحظة الغزول الفطري العقيم وتأكيد التشخيص.

2- التشخيص بإستخدام فحص PCR:

تم تتميم الفطر على وسط PDA من خلال زراعة جسم حجري واحد في مركز الطبق في درجة 20°C لمدة إسبوع في الحاضنة وحسب طريقة (25 و 26 و 27).

تم إجراء فحص PCR للتأكد من إن الفطر هو *S. sclerotiorum* وذلك بإستخدام البادئ primer الخاص بجين 18S rRNA gene ITS region *S. Sclerotiorum*. حيث تم تصميم هذا البادئ من خلال موقع بنك الجينات Genbank NCBI وباستخدام برنامج Primer3plus لتصميم البادئات والخاصة بفحص ال PCR . وتم تجهيز البادئ من قبل شركة : Bioneer

الجدول 1: يمثل البادئ المستخدم مع تسلسله النيوكليوتيدي ونتائج فحص PCR

Primer	Sequence		Amplicon
18S rRNA gene	F	GTTAGGTGAACTGCAGGAAGGA	399bp
	R	GCCGCCACTGATTAGAGC	

Sclerotinia sclerotiorum genes for 18S rRNA, ITS1, 5.8S rRNA, ITS2 and 28S rRNA, partial and complete sequence, strain: SfGa-107 Gen Bank: AB937099.1

وتكون الفحص من عدة خطوات:

أولاً: استخلاص الحامض النووي من الفطر : Fungus DNA extraction

تم استخلاص الحامض النووي من الفطر وذلك باستخدام عدة ال EZ-10 Spin Column Fungal Genomic DNA ، (Mini-Preps Kit)

الجدول 2: العدد التي استخدمت مع اسم الشركة المصنعة وبلد المنشأ.

بلد المنشأ	مكوناته	اسم العدة	ت
Biobasic Canada	EZ-10 Column 50	عدة استخلاص الحامض النووي الفطري EZ-10 Spin Column Fungal Genomic DNA Mini- Preps Kit	1
	ml Collection Tube 50 2.0		
	Universal Digestion Buffer 12 ml		
	Universal Buffer PF 6 ml		
	Universal Buffer BD 12 ml		
	Universal PW Solution (concentrate) 18 ml		
	Universal Wash Solution (concentrate) 7.5 ml		
	TE Buffer 10 ml		
Bioneer (Korea)	Proteinase K (10mg/ml) 1.2 ml	عدة فحص Accupower ® PCR PerMIX	2
	TopDNA polymerase		
	(dNTP (dATP, dCTP, dGTP, Dttp)		
	Tris-HCl (pH 9.0), KCl, MgCl ₂		
	Stabilizer and tracking dye		

مجلة جامعة كريلاء العلمية – المجلد الرابع عشر- العدد الرابع / علمي / 2016

وتم إجراء الإستخلاص حسب تعليمات الشركة كآلآتي:

- 1- نقل 200 ملليغرام من مستعمرات النمو الفطري الى حاوية خزفية معقمة وباستخدام النايتروجين السائل ذو درجة حرارة 0°C تم سحق المستعمرات الفطرية ومن ثم نقلت الى انباب معقمة سعة 1.5 ml .
- 2- أضيف 1ml من محلول Universal Digestion Buffer و 20 من إنزيم K Proteinase الى كل عينة وثم مزج بوساطة جهاز المازج ومن ثم حضنت العينات بدرجة حرارة 56°C لمدة 30 دقيقة.
- 3- أضيف 1ml من محلول Universal Buffer PF ومزج بوساطة قلب الانابيب حضنت بدرجة حرارة 20°C – 30°C لمدة 30 دقيقة.
- 4- وضعت العينات في جهاز الطرد المركزي بسرعة 10000rpm لمدة 5 دقائق ومن ثم نقل السائل الطافي الى انبوبة سعة 1ml جديدة.
- 5- أضيف 1ml من محلول Universal Buffer BD ومزجت بوساطة المازج.
- 6- أضيف الكحول الأثيلي المطلق 96% Absolute ethanol الى جميع العينات ومزجت بوساطة المازج.
- 7- نقل المزيج الى الانابيب خاصة تحتوي على فلتر لإستخلاص الحامض النووي المجهزة مع العدة EZ-10 column موضعية داخل انابيب جامعة collection tube سعة 2ml ومن ثم وضعت في جهاز الطرد المركزي بسرعة 12000 rpm لمدة دقيقة ومن ثم تم التخلص من الراسب.
- 8- أضيف 1ml من محلول Universal PW Solution ومن ثم وضعت الانابيب في جهاز الطرد المركزي بسرعة 12000rpm لمدة دقيقة ومن ثم تم التخلص من الراسب.
- 9- أضيف 1ml من محلول Universal Wash Solution ومن ثم وضعت الانابيب في جهاز الطرد المركزي بسرعة 12000 rpm لمدة دقيقة ومن ثم تم التخلص من الراسب.
- 10- وضعت ال EZ-10 column الحاوية على الحامض النووي في انباب معقمة سعة 1.5 ml ومن ثم وضعت الانابيب في جهاز الطرد المركزي بسرعة 12000 rpm لمدة دقيقة لتجفيف ال EZ-10 column membrane من الكحول ومن ثم تم التخلص من الراسب.
- 11- أضيف 1ml من محلول TE Buffer لإذابة الحامض النووي داخل ال EZ-10 filter column ومن ثم حضنت في درجة حرارة الغرفة لمدة دقيقة وبعدها وضعت جميع الانابيب في جهاز الطرد المركزي بسرعة 12000 rpm لمدة دقيقة لجمع الحامض النووي وبعدها نقل إلى الحفظ بدرجة حرارة -20°C تحت الصفر في الثلاجة لحين الاستعمال في فحص PCR.

ثانياً : فحص الحامض النووي المستخلص : DNA profile

تم الكشف عن الحامض النووي DNA المستخلص من الفطر وذلك من خلال استخدام جهاز Nanodrop spectrophotometer (THERMO. USA) الخاص بالكشف وقياس تركيز الاحماض النووي (DNA and RNA) حيث يتم الكشف عن الحامض النووي من خلال تحديد تركيز الحامض النووي (DNA ng/ μ L) وقياس نقاوة الحامض النووي DNA من خلال قراءة الامتصاصية بطول موجي يتراوح بين (nm) 260- 280 وتم استخدام الجهاز على النحو التالي :

- 1- بعد تشغيل جهاز Nanodrop تم اختيار برنامج قياس الحامض النووي نوع DNA .
- 2- تقوم بتصفيير ركيزة المقياس مرتين باستخدام ورق نشاف خاص بالجهاز وذلك بوضع 1 ميكروليلتر من (ddH2O) باستخدام ميكروبايبيت معقمة على سطح ركيزة المقياس وإجراء التصفير وبعها تقوم بتنظيف الركيزة لقياس العينات.
- 3- نقوم بالضغط على زر ok لبدء عملية قياس تركيز ال DNA وذلك باستخدام 1 ميكروليلتر من كل عينة من ال DNA المستخلص ومن ثم نقوم بتنظيف ركيزة المقياس الجهاز مرة اخرى لقياس العينة الأخرى.
- 4- وكذلك تم تحديد نقاوة عينات ال DNA المستخلص بقراءة الامتصاصية جهاز Nanodrop Spectrophotometer على طولين موجيين (280/260 nm) حيث إن الحامض النووي DNA المستخلص يعتبر نقى عندما تكون نسبة الامتصاصية هي (1.8).

ثالثاً- تحضير PCR Components

تم تحضير خليط تفاعل PCR باستخدام عدة ال AccuPower® PCR PerMIX وحسب تعليمات الشركة كما في الجدول الآتي:

الجدول 3: يوضح PCR Components

PCR Components	Volume
DNA template	5 μ L
(Forward primer 10 pmol)	1.5 μ L
Reverse primer (10 Pmol)	1.5 μ L
PCR water	12 μ L
Total	20 μ L

بعد ذلك تم وضع مكونات خليط تفاعل PCR التي ذكرت في الجدول أعلاه إلى أنابيب حجم 0.2 ml خاصة بعده فحص الـ PCR (PCR Premix Accupower®) والحاوي على بقية مكونات تفاعل الـ PCR ومن ثم نقلت جميع الأنابيب إلى جهاز الطرد المركزي المازج (vortex centrifuge Exispin) بسرعة 3000rpm لمدة ثلاثة دقائق ومن ثم وضعت في جهاز Thermocycler.

رابعاً- حالات الدورات الحرارية لفحص PCR Thermocycler conditions :
تم إجراء فحص PCR باستخدام جهاز PCR Thermocycler كما في الجدول التالي:

الجدول 4: يوضح حالات الدورات الحرارية لفحص PCR Thermocycler conditions

PCR Step	Repeat cycle	Temperature	Time
Initial denaturation	1	95C	5min
Denaturation	30	95C	30sec
Annealing		58C	30sec
Extension		72C	30sec
Final extension	1	72C	5min
Hold	-	4C	Forever

خامساً- تحليل نتائج فحص الـ PCR :

- تم إجراء الترхيل الكهربائي Agrose gel electrophorsis باستخدام هلام الأكروز بنسبة 1% وذلك لقراءة نتيجة تفاعل سلسلة البلمرة PCR product analysis وفقاً لما أورده (28) و (29). كما يأتي:
- أذيب 1 غ من هلام الأكروز gel Agarose في 100 مل من محلول الـ TBE buffer الداري بتركيز 1X وباستخدام جهاز Microwave لمدة 5 دقيقة.
 - ترك الهلام ليبرد بدرجة حرارة 50° م وبعدها تم إضافة 3 ميكروليتر من صبغة الحامض النووي المشعة Ethidium bromide ومزجت مع الهلام.
 - صب هلام الأكروز في قالب الترخيل Tray الحاوي على المشط Comb لتحديد أماكن عينات PCR، وبعدها ترك الهلام ليتصلب في درجة حرارة الغرفة لمدة 15 دقيقة ومن ثم ازيل المشط من الهلام بعناية.
 - تم عملية تحميل العينات ناتج الفحص PCR product ووضع في حفرة الهلام.
 - تم استخدام سلم القياس 100 DNA ladder لقياس ناتج PCR product ووضع في الحفرة الأولى.
 - بعد اكتمال عملية التحميل تم غمر هلام الأكروز باستخدام محلول TBE Buffer الداري بتركيز 1X وغلق غطاء الترخيل وبعدها تم تشغيل جهاز الترخيل باستخدام تيار 100 فولت وامبير 80 لمدة ساعة واحدة.
 - بعد إنتهاء عملية الترخيل تم فحص الهلام الحاوي على ناتج PCR باستخدام مصدر الأشعة فوق البنفسجية U.V light source لتحديد الناتج مع وحدة القياس وتم تصويرها بإستخدام كاميرا رقمية.

سادساً: تأثير الإضاءة المستمرة في إنتاج الأجسام الثيرية من الجسم الحجري للفطر *S.sclerotiorum* بدرجات حرارية مختلفة:

نفذت هذه التجربة في ظروف الإضاءة المستمرة داخل المختبر في غرفة النمو Growth chamber ودرجات حرارية 10، 15، 20، 25°C بعد تعقيم الأجسام الحجرية سطحياً بمحلول الكلوراكس التجاري 0.06% لمدة 3-2 دقائق وغسلت ثلاث مرات بالماء المقطر المعقم ونشفت على ورق ترشيح معقم. تم وضع 10 جسم حجري في كل طبق بتراي بقطر 9 سم يحوي 20 مل ماء مقطر معقم ، وحضنت بدرجات الحرارة الموضحة أعلاه وفي ظروف إضاءة مستمرة وبخمسة مكررات لكل معاملة ، تم مراقبة المعاملات وأخذ القراءات لغاية إنتهاء التجربة.

سابعاً- تأثير الظلام المستمر في إنتاج الأجسام الثيرية من الجسم الحجري للفطر *S.sclerotiorum* بدرجات حرارية مختلفة :

أجريت بنفس طريقة سادساً اعلاه باستثناء الحضن في ظروف الظلام المستمر.

النتائج و المناقشة:

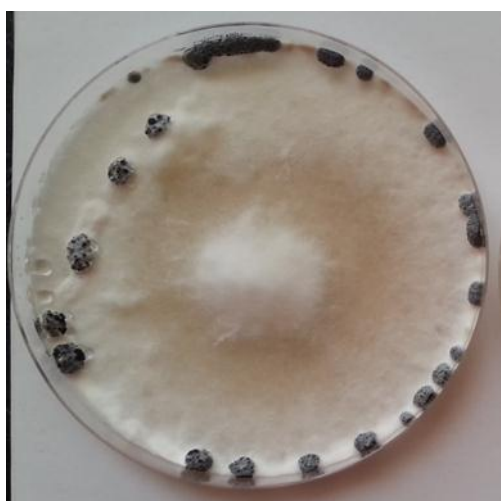
١- تشخيص الفطر مظهريا ووراثيا:

بيّنت الملاحظات العامة للفطر الشكل (1)، بعدها من جمع العينات وصولاً إلى التشخيص المجهرى ووفقاً للمفاتيح التصنيفية بأن الفطر هو *S. sclerotiorum* (24) و(23) و(7).



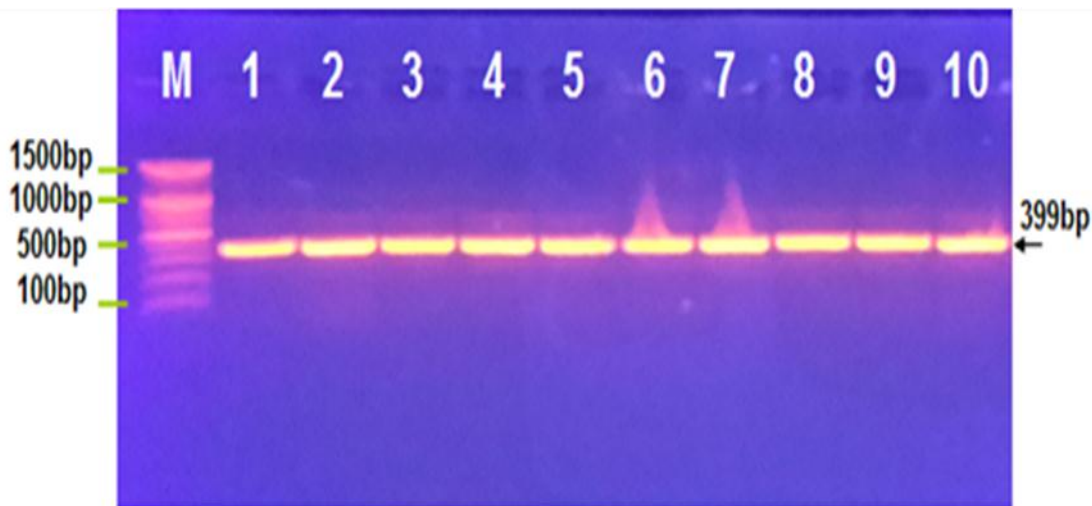
الشكل 1: نبات البازنجان وعليه الغزل الفطري والجسم الحجري للفطر *S.sclerotiorum*

أظهرت النتائج في الشكل 2 ، ان الغزل الفطري غطى الطبق بالكامل بعد خمسة أيام من التلقيح على شكل خيوط بيضاء، وبدأ بانتاج الاجسام الحجرية Sclerotia على وسط PDA بعد إسبوع من التلقيح واختلفت اعداد واحجام الاجسام الحجرية ونمط توزيعها في الاطياف المختلفة وهذه النتيجة توافق مع ما توصل اليه (14)، وامتازت الاجسام المنتجة على الوسط PDA بانها ذات أشكال غير منتظمة فبعضها كروي وبعضها متطلوب ومقرعة من السطح الداخلي واحياناً ملتصقة مع بعضها، واختلفت عن الاجسام الحجرية المتكونة على العائل، تكون الاخرية لا تكون مقعرة، فضلاً عن لونها الأسود وصلابة قشرتها الخارجية، وهذه النتائج مشابهة لما توصل إليه (30) ، إذ بين إن اللون الأسود الصلب للجسم الحجري هو الطبقة الاولى من الجسم التي تحتوي على خلايا سميكية منتجة لصبغة الميلاتين Melanin ، وتلعب دوراً في عملية حماية الفطر *S. sclerotiorum* ، أما الطبقات الأخرى فلا تكون صلبة لعدم احتوائها على الصبغة .اما التذبذب في انتاج الاجسام الحجرية على الوسط الزرعي PDA على الرغم من كونها محسنة في درجة حرارة تراوحت بين 20 ± 2 ضمن حدود المدى الحراري المناسب الذي ذكره (31) في نتائجه ، وهذا يتفق مع ما ذكره (12) ، إذ بينما أن نمو الفطر يكون بأعلى معدلاته عن درجة الحرارة $20-25^{\circ}\text{C}$ على وسط PDA ، أما إنتاجه للأجسام الحجرية فيكون في المدى $15-20^{\circ}\text{C}$ وهذا قد يرجع إلى ظروف تجريبية ووراثية . كما تم ملاحظة مراحل تكوين الأجسام الحجرية الثلاثة والتي بدأت بتجمع الغزل الفطري على شكل كتل بيضاء ما ثبت ان تتحول إلى اللون البني ومن ثم إلى اللون الأسود مع خروج افرازات عديمة اللون اختفت عند نضج الاجسام الحجرية، وتفق هذه النتائج (32).



الشكل 2: الغزل الفطري للفطر *S.sclerotiorum* مع مراحل تكون الاجسام الحجرية على وسط الـ PDA بدرجة حرارة 20 ± 2 ، تظهر فيه اختلاف عدد الاجسام الحجرية واختلاف اقطارها واختلاف نمط توزيعها.

وبعد التشخيص المظاهري والتأكد من إنه الفطر *S. sclerotiorum* تم التسخين الجزيئي وتبيّن إن هذه العزلة مشابهة للعزلة التي عزّلها (21) ومتّوافقة لما ذكره (33) على الرغم من استخدام القطعة الجينية المتمثّلة 18S r RNA gene . كما في الشكل 3.



الشكل 3: صورة الترحيل الكهربائي باستخدام هلام الأكروز والذي يظهر نتائج فحص الـ PCR لجين ITS1 ، 18region الخاص بتشخيص فطر *Sclerotinia sclerotiorum* . حيث يمثل (M: Marker 1500-100bp)، الحفر من عزلات الفطر الموجبة للفحص بناتج 399bp (10-1).

2 - تأثير الإضاءة المستمرة في إنتاج الأجسام الثمرية من الجسم الحجري بدرجات حرارية مختلفة :

أظهرت النتائج في الجدول 5 ، إن بداية إنتاج الأجسام الثمرية بدأ في الأسبوع الثالث في كل من الدرجات الحرارية من 10 - 20⁰ م واستمر تطوير السويقات مع زيادة طول الفترة الزمنية للحضن من الأسبوع السابع حيث ظهرت بداية تكوين الأقماع Apothecium وأكتمل نموها في الأسبوع الثامن من الحضن تحت ظروف الإضاءة المستمرة ، بينما لم تسجل درجة حرارة 25⁰ م أي تطور في الجسم الثمري للفطر . مما يدل على إن درجات الحرارة من 10-20⁰ م مناسبة لتطوير الأجسام الثمرية وهذه النتيجة متّوافقة مع ما توصل إليه (14) ، في أن درجات الحرارة المنخفضة مناسبة لإنبات الجسم الحجري وتكوين الأجسام الثمرية بشرط توفر الإضاءة . وبين (34) ، أن السويقات تطورت إلى شكل يشبه القمع أو الكوب يدعى apothecium وكانت الأقماع بنية اللون محمولة على حامل او سويق stipe بطول 5- 21 ملم في، حين سجل قطر أفرادها 9-2 ملم كما في الشكل 4 .

الجدول 5: يوضح تطور وتكوين الجسم الثمري في درجات حرارة مختلفة وتحت ظروف الإضاءة المستمرة بالماء المقطر المعقم.

				درجات الحرارة م ⁰ الأسبوع
الاول	الثاني	الثالث	الرابع	الخامس
0	0	0	0	استطالة السويقات
0	0	0	بداية تكون السويقات	بصورة قصيرة
0	ظهور نتوء من سطح الجسم الحجري	ظهور نتوء من سطح الجسم الحجري	بداية تكون السويقات	استطالة السويقات
0	بداية تكون السويقات	بداية تكون السويقات	بداية تكون السويقات	إستمرار استطالة السويقات
0	ت تكون السويقات	ت تكون السويقات	ت تكون السويقات	إستمرار استطالة السويقات
0	استطالة السويقات بصورة قصيرة	بصورة قصيرة	ت تكون القمع	ت تكون القمع
0	إستمرار استطالة السويقات وبداية ت تكون القمع			
0	ت تكون الجسم الثمري من الجسم الحجري			

ان الأجسام الحجرية المختلفة في الطول والعرض كانت أجساما ثمرة إختلفت في عددها ، وكما سيناقش لاحقا ، فكلما كان كبير كان عدد الأجسام الثمرة المكونة أكثر وذلك لكثره المواد الغذائية المخزونة في الجسم الحجري الكبير، وأشار (13) ، أن درجة الحرارة المناسبة للإنبات الجنسي للفطر *S. sclerotiorum*. تكون في الغالب بين 10- 20⁰ م ، إلا إن درجات الحرارة اختلفت بين الدراسات المختبرية .واوضح (24)، إن إنبات الجسم الثمري عادة ما يتطلب أجسام حجرية تكون رطبة لمدة أسبوع أو أسبوعين قبل الإنبات وتحصل في أعماق التربة تصل إلى 2 سم، ويمكن لجسم ثمري واحد او أكثر أن يمتد من الجسم الحجري للوصول إلى سطح التربة. كما أكد (9) أن تكوين الجسم الثمري يتطلب الرطوبة للإنبات والعدوى . ان العوامل البيئية المتمثلة بدرجة حرارة التربة ، رطوبة التربة والضوء تؤثر على تكوين الجسم الثمري للفطر (35) *S. sclerotiorum* ، وبعد الضوء عامل بيئي مهم له تأثيرا على تطور الجسم الحجري وتكون السويقات والأجسام الثمرة للفطر (35) و(36) ان للضوء تأثيرا على الفترة اللازمة لظهور السويقات المكونة من الجسم الحجري، وانه تظهر بعد 3 أسابيع بوجود الضوء وبعد 10أسابيع بلغ عددها 65.5 سovic بلغ عددها 10 أجسام حجرية وكانت Apothecia دائرية وبقطر 2-9 ملم .



الشكل 4: تظهر الأجسام الحجرية وب أحجامها المختلفة بعد ثمانية أسابيع من الحضن بالماء المقطر المعقم بدرجة حرارة 10- 20⁰ م و اضاءة مستمرة للأجسام الثمرة المكونة من السovic S. sclerotiorum Stipe و الجسم الثمري Apothecium .

3 - تأثير الظلام المستمر في إنتاج الأجسام الثمرة من الجسم الحجري بدرجات حرارية مختلفة :

اتضح من الجدول 6 ،أن ظروف الظلام المستمر في الماء المقطر المعقم كان سببا في ظهور بدايات السويقات من الجسم الحجري عند درجات حرارية 15 و 20⁰ م واستمرت السويقات في الاستطاله ، ولم تظهر الأقماع مطلقا حتى الأسبوع الثامن وهو نهاية التجربة كما في الشكل 5 ، بينما لم تظهر السويقات مطلقا في درجة حرارة 25⁰ م ، وهذه النتيجة مشابهة لما توصل إليه (37) و (14) في أن السويقات تظهر في الجسم الحجري وتستمر بالإستطاله في ظروف الظلام المستمر ، ولم تظهر السويقات في درجات الحرارة 30-50⁰ م سواء في ظروف الأضاءة المستمرة أو الظلام المستمر. وهذه النتائج تتفق مع (38)،إذ بين ان السويقات تستمر بالإستطاله في الظلام وعند تعرض السويقات للضوء تتكون الأجسام الثمرة ، بينما ذكر(36) أنه في ظروف الظلام في درجات حرارة 20-5⁰ م ظهرت السويقات بعد 12 أسبوعيا وكان عددها 107 لكل 10 أجسام حجرية بعد 20 أسبوعيا من الحضانة. ولدرجة الحرارة تأثيرا على عدد وطول السويقات و إن المدى الحراري الأفضل يقع بين 10-20⁰ م في حين بين(39)، إن هذا المدى الحراري يقع بين 10-25⁰ م وقد يعود هذا الاختلاف إلى نوع السلالة المستخدمة في الدراسة. وكذلك مشابهة لما ورد في(33). ومن حيث تأثير الضوء فقد بين(40)،أن السويقات الناتجة من الأجسام الحجرية للفطر *S. sclerotiorum* لا تتطور إلى أجسام ثمرة إلا بوجود الضوء . هذه النتائج تتفق مع (14) حيث أوضحت إن للضوء تأثيرا كبيرا على إنبات الأجسام الحجرية وتكونin الأجسام الثمرة فلم يظهر أي إنبات جنسي في ظروف الظلام في أي من درجات الحرارة التي تتراوح بين 5-50⁰ م لكن ظهر إنبات جنسي بين درجات الحرارة من 20-5⁰ م في ظروف الإضاءة المستمرة فقط بشده 650 لوكس. كما ذكر(41) ، إنهم لم يتمكنا من الحصول على أي جسم ثمري عند اختبار 200 عزلة من الفطر *S. sclerotiorum* في الظلام الكامل. وأشار(42) إلى أنهما لم يحصلوا إلا على جسم ثمري واحد من 1000 سovic يعود *S. sclerotiorum* محضن في ظروف الظلام المستمر. أما نوع الوسط الملائم للإنبات الجنسي فاتفقنا النتائج مع (43)إذ بين إن أفضل الأوساط البيئية الملائمة لتطور الأجسام الحجرية وتكون السويقات هو الماء المقطر.

الجدول 6 : يوضح تطور السويقات في درجات حرارة مختلفة وتحت ظروف الظلام المستمر بالماء المقطر المعقم.

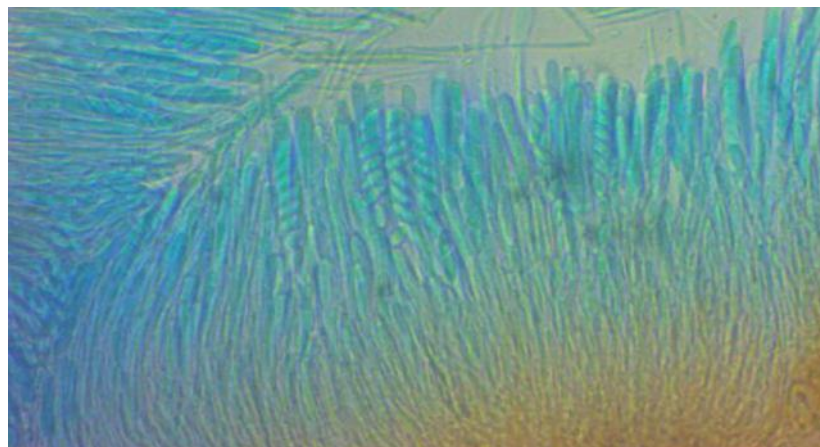
الحصن (اسبوع)	مدة	درجات الحرارة °م	10	15	20	25
الاول			0	0	0	0
الثاني			0	بداية ظهور نتوء من سطح الجسم الحجري	بداية ظهور نتوء من سطح الجسم الحجري	0
الثالث			0	ظهور السويقات من الجسم الحجري	ظهور السويقات من الجسم الحجري	بداية ظهور نتوء من سطح الجسم الحجري
الرابع			0	استطاله السويقات	استطاله السويقات	ظهور السويقات من الجسم الحجري
الخامس			0	استطاله السويقات	استطاله السويقات	استطاله السويقات
السادس			0	استطاله السويقات	استطاله السويقات	استطاله السويقات
السابع			0	استطاله السويقات وبداية ظهور سويقات جديدة صغيرة	استطاله السويقات وظهور سويقات جديدة صغيرة	استطاله السويقات وظهور سويقات جديدة صغيرة
الثامن			0	الاستمرار بالإستطاله وظهور سويقات صغيرة جديدة	الاستمرار بالإستطاله	استطاله السويقات وظهور سويقات جديدة



الشكل 5: تظهر الأجسام الحجرية وب أحجامها المختلفة بعد ثمانية أسابيع من الحصن بالماء المقطر المعقم بدرجة حرارة 10-20 °م وأضاءة مستمرة منتجة للسوويقات Stipes Fcet.

من خلال تحضير شريحة من جزء صغير من الجسم الثمري وتصبيغ الجسم الثمري بصبغة اللاكتوفينول الزرقاء وفحصه تحت المجهر، وجد انه يتكون من الأكياس البوغية التي تكون شفافة وأسطوانية الشكل والأبوااغ الكيسية ضمن الطبقة الخصبية مع خيوط عقيدة بين الأكياس، وتحتوي الأكياس البوغية على ثمانية أبوااغ كيسية بيضوية الشكل مرتبة بشكل اهليجيي الشكل 6. وهي بذلك بنفس الوصف الذي وصفه كلا من (44) بأن الطور الجنسي للفطر يتكون من الأبوااغ الكيسية Ascospore التي توجد داخل أكياس Ascii وتتشكل هذه الأكياس في أجسام ثمرية كأسية الشكل Apothecia محمولة على سويف Stipe ينشأ من نسيج حشوي فطري Stromata ، كما تم مشاهدة انطلاق الأبوااغ الكيسية من الجسم الثمري بعد فتح غطاء الطبق على شكل يشبه الدخان المتتصاعد او السحابة او ما تسمى بظاهرة التفخ Buffing ، وقد توافقت هذه النتائج مع (17) إذ لاحظ إنطلاق الأبوااغ الكيسية في الهواء المشبع وأن هنالك إطلاق منتظم مستمر للascospores في النوع *S. trifoliorum* في الهواء المشبع، إن

إطلاق البوغ من قبل الجسم الشري من *S. sclerotiorum* بسهولة عن طريق إزالة الغطاء من الطبق المغلق الذي يحتوي على *apothecia* في بيئة مشبعة ويرجع هذا الإنطلاق إلى الانخفاض المفاجئ في نسبة الرطوبة والضغط.



الشكل 6: يظهر الاكياس البوغية و الابواغ الكيسية مع الشعيرات العقيمة بعد ثمانية اسابيع من الحضن في الماء المقطر المعقم بدرجة حرارة 10-20°C و اضاءة مستمرة .

المصادر:-

- 1- Adams,P.B.andAyers,W.A. (1979) . Ecology of *Sclerotinia* species . Phytopathology . 69:896-899.
- 2 - محمد، بان طه (2012).تأثير فترة الخزن في حيوية الأجسام الحجرية المنتجة من الفطر *Sclerotinia Sclerotiorum* والفطريات المرافقة. مجلة الفرات للعلوم الزراعية-4 (Lib.) De Bary 189-180(2).
- 3- Melo, I. S. ;Moretini, A. ; Cassiolato, A. M. R. & Faull, J. L. (2011). Development of mutants of *Coniothyrium minitans* improved efficiency for control of *Sclerotinia sclerotiorum*, Journal of Plant Protection Research, 51(2):179 – 183.
- 4- Lanoiselet, T. L. H. ; Lanoiselet, V. M. , Lewington, F. K. , Ash, G. J. and Murray, G. M. (2005). Survival of *Sclerotinia sclerotiorum* under fire, Australasian Plant Pathology,34: 311–317.
- 5- Quentin,U.(2004).*Sclerotinia sclerotiorum*, occurrence and control. Kartoffelbau 8:318–319.
- 6- Rollins JA and Dickman MB (2001). pH signaling in *Sclerotinia sclerotiorum* : identification of a pacC/RIM1 homolog Appl. Environ. Microbiol. 67: 75-81.
- 7- Saharan, G. S. and Mehta, N. (2008). *Sclerotinia* diseases of crop plants: biology, ecology and disease management, Department of Scientific and Industrial Research, New Zealand, :531 pp.
- 8- Garg, H. ; Li H., ; Sivasithamparam, K. ; Kuo, J.and. Barbetti, M. J.,(2010) . The infection processes of *Sclerotinia sclerotiorum* in cotyledon tissue of aresistant and a susceptible genotype of *Brassica napus*,Annals of Botany(106):897–908.
- 9- Bardin, S. D. and H. C. Huang. (2001). Res-earch on biology and control of *Sclerotinia* diseases in Canada. Can J. Plant Pathol. 23(1):88–98.
- 10-Roseann, H. L., L. M. Winton . (2006). Diff-erential production of sclerotia by isolates of *Sclerotinia sclerotiorum* from Alaska Vol.28.
- 11-Matheron, M. E. and Porchas, M. (2005). Influence of soil temperature and moisture on eruptive germination and viability of sclerotia of *Sclerotinia minor* and *S. sclerotiorum*.Plant Dis , 89:50-54.
- 12-Cuong, D. C. and Dohroo, N. P. (2006). Morphological, cultural and Physiological studies on *Sclerotinia sclerotiorum* causing stalk Rot of Cauliflower. Omonrice.14:71– 77.

مجلة جامعة كربلاء العلمية – المجلد الرابع عشر- العدد الرابع / علمي / 2016

- 13-Mila, A. L., and X.B. Yang.(2008). Effects of fluctuating soil temperature and water potential on sclerotinia germination and apothecial production of *Sclerotinia sclerotiorum*. Plant Dis. 92:78-82.
- 14- محمد ، بان طه . (2001). دراسة حياتية للفطر *Sclerotinia Sclerotiorum* (Lib.) De Bary و استخدام البسترة الشمية في السيطرة عليه، اطروحة دكتوراه فلسفة ، كلية العلوم ، جامعة بابل ،87صفحة.
- 15-Sun, P., and X. B. Yang. (2000). Light, temp-erature, and moisture effects on apothecium production of *Sclerotinia sclerotiorum*.Plant Dis. 84:1287-1293.
- 16-Clarkson, J. P.; J. Staveley ; K. Phelps ;C.S. Young and J. M. Whipps. (2003). Ascospore release and survival in *Sclerotinia sclerotiorum*. Mycol. Res. 107: 213–222.
- 17-Raynal, G. (1990). [Kinetics of the ascospore production of *Sclerotinia trifoliorum* (Eriks) in growth chamber and under natural climatic conditions – practical and epidemiologic incidence.] Agronomie 10:561–572. [In French].
- 18-Ingold, C. T. (1971) Fungal Spores: their liberation and dispersal.Oxford University Press, London,302p.
- 19-Malvarez, G. ; Carbone, I. , Grünwald, N. J. , Krishnamurthy, V. S. , Schafer, M. and Kohn, L. M. (2007). New populations of *Sclerotinia sclerotiorum* from lettuce in California and peas and lentils in Washington, The American Phytopathological Society 97:470-483.
- 20-Noonan, M. P. ; Glare, T. R. , Harvey, I.C. and Sands, D. C. (1996). Genetic comparison of *Sclerotinia sclerotiorum* isolates from New Zealand and USA, Environmental Weeds and Pests,49: 126-131.
- 21- محمد، بان طه والمظفر، حيدر عبدالمنعم (2013) . تشخيص سلالة الفطر *Sclerotinia sclerotiorum* باستعمال الـPCR وتقدير حامض الأوكزalic المنتج تحت ظروف بيئية وكيميائية مختلفة، مقبول للنشر في مجلة الفرات للعلوم الزراعية، المجلد5،العدد 3.
- 22-Ellis, D. H. (1994). Clinical mycology : the human opportunistic mycoses., Gillingham printers pty. Ltd. Australia: 166 pp.
- 23-Tariq, V.N.; Gutteridge , C.S. and Jeffries , P. (1985) . Comparative studies of cultural and biochemical characteristics used for distinguishing species within *Sclerotinia*. Trans. Br. Mycol. Soc. 84(3): 381-397.
- 24-Kohn,L.M. (1979). Delimitation of the economically important pathogenic *Sclerotinia* species. Phytopathology 69:881-886.
- 25-Munoz-Cadavid, C. ; Rudd , S. , Zaki, S.R. , Patel, M., Moser, S.A. , Brandt, M. E. and Gomez, B.L.(2010).Improvement molecular detection of fungal DNA in formalin-fixed paraffin- embedded tissues: comparison of five tissues DNA extraction methods using panfungal PCR. Journal of Clinical Microbiology, 48: 2147-2153.
- 26-Safaie, N. ; Karimi, E. and Shams-bakhsh, M. (2011). Assessment of genetic diversity among *Sclerotinia sclerotiorum* populations in canola fields by Rep-PCR, Trakia Journal of Sciences, 9 : 62 –68.
- 27-Grabicoski, Edilaine Mauricia Gelinski, David de Souza Jaccoud Filho, Marcos Pileggi, Luciane Henneberg, Marcelo LuizCunha Pierre , Cláudio Mauricio Vrisma ,AudreiNisio Gebieluca Dabul,(2015). Rapid PCR-based assay for *Sclerotinia sclerotiorum* detection on soybean seeds. Scag agric. (Piracicaba, Braz.) 72(1):Piracicaba Jan./Feb.
- 28-Sambrook J, Fritsch EF and Maniatis T (1989). Molecular Cloning: A Laboratory Manual. 2nd ed. Cold Spring Harbor Laboratory Press, New York.
- 29-Al-azawy, A. F. N. (2011). A rapid, non enzymatic method for genomic DNA extraction from whole blood and mammalian tissues, roavs, 1(5): 279-283.
- 30-Michael, J. B. ; Gardiner,R. B. & Day, A. W.(2009). Melanin Synthesis by *Sclerotinia sclerotiorum*,Mycologia, 101(3): 296– 304.
- 31- المظفر، حيدر عبد المنعم محمد،(2013).دراسة بعض المؤثرات البيئية والكيميائية في نمو وانتاج الاجسام الحجرية للفطر *Sclerotinia sclerotiorum* رسالة ماجستير . جامعة كربلاء ، 75صفحة.
- 32- سمير، صالح حسن ونعمه، رباب علي(2013).بعض الصفات المظهرية للفطر *Sclerotinia Sclerotiorum* (Lib.) De Bary . مجلة العلوم الزراعية العراقية - 44 (5) 635-629:

- 33-Safaie, N.; Karimi, E. and Bakhsh, M. S. (2012).Mycelial compatibility groupings and pathogenic diversity of *Sclerotinia sclerotiorum* (Lib.) De Bary populations on canola in golestan province of iran, J. Agr. Sci. Tech. ,14 : 421 -434.
- 34-Willetts, H. J. & Wong, J. A. L.(1980).The biology of *Sclerotinia sclerotiorum*, *S. trifoliorum*, and *S.minor* with emphasis on specific nomenclature, The Botanical Review,46:101-165.
- 35-Huang , H. C. and Yeung, J. M. (2002). Biochemical pathway for the formation abnormal sclerota of *Sclerotinia sclerotiorum*, Plant Pathology Bulletin , 11(1): 1-6.
- 36-Letham,D.B.,(1975).Stimulation by light of apothecial initials development of *Sclerotinia sclerotiorum*.Trans.Br.Mycol.Soc.65:333-335.
- 37- محمد، بان طه (2003) . تأثير نوعيات مختلفة من المياه في بعض صفات النمو للأجسام الحجرية للفطر *Sclerotinia sclerotiorum* (Lib.) De Bary . 142-137: المجلد 1 ،العدد 4
- 38-Henderson,R.M.(1962).An inhibitory growth correlation in the apothecial stipe of *Sclerotinia sclerotiorum* .Nature 195:826.
- 39-Abawi, G. S. and Grogan, R. G. (1975). Source of primary inoculum and effects of temperature and moisture on infection of beans by *Whetzelinia sclerotiorum*.Phytopathology 65 : 300-309.
- 40-Honda,Y.& T.Yonoki.(1977).Control of *Sclerotina* disease of greenhouse eggplant and cucumber by inhibition of development of apothecia .Plant dis.Rept.61:1036-1040.
- 41-Kosasih ,D.& H.J. Willetts .(1975).Types of abnormal apothecia produced by *Sclerotinia sclerotiorum*. Mycologia 67:89-97.
- 42-Henson,L.&W.D.Valleau.(1940).The production of apothecia of *Sclerotinia sclerotioeum* and *Sclerotinia trifoliorum* in culture phytopatholgy 30:869-873.
- 43- حناوي ،محمد جبير(1986) دراسة ومقاومة حياتية للفطر *Sclerotinia sclerotiorum* (Lib.) deBary على محصول البازنجان في البيوت البلاستيكية .رسالة ماجستير .جامعة بغداد، 62 صفحة .
- 44-Webster, J. and Weber, R. (2007). Introduction to fungi, Cambridge University Press , UK , 3th Edition, :875 PP.